# ③ 舗装工事における建設機械の施工履歴を用いた 3次元モデルの生成手法の精度検証

松浦 弦三郎 1·今井 龍一 2·谷口 寿俊 3

<sup>1</sup>正会員 東京都市大学大学院 総合理工学研究科建築・都市専攻 (〒158-8557 東京都世田谷区玉堤 1-28-1)

E-mail:gmatuura@tcu.ac.jp

<sup>2</sup>正会員 法政大学准教授 デザイン工学部都市環境デザイン工学科 (〒162-0843 東京都新宿区市谷田町 2-33) E-mail:ryuichi.imai.73@hosei.ac.jp

<sup>3</sup>正会員 九州大学大学院助教 工学研究院(〒819-0395 福岡県福岡市西区元岡 744) E-mail:taniguchi@doc.kyushu-u.ac.jp

建設現場におけるマシンコントロール・マシンガイダンスシステムにて使用されている ICT 建設機械では、走行履歴のログデータが取得されている。国土交通省の推進する i-Construction では、このログデータを出来高部分払の算出に適用していることから、今後ログデータの流通の進展が期待できる。

著者らは既存研究にて、ICT 建機のログデータのさらなる有効活用を目指し、ログデータから工事目的物の3次元形状の生成可能性を明らかにした。また、GNSSの測位誤差を考慮したログデータの補正処理手法を確立することで、ログデータを用いた出来形管理手法の実現可能性のある知見を得た。本稿では、ログデータの補正手法を考案して既存の3次元形状の生成手法に組み込み、試験施工による出来形管理を試行した。その結果、既存の出来形管理に適用できる有用性を明らかにした。

Key Words: Log-data, Shape-management, i-Construction, 3D-model

## 1. はじめに

我が国では、i-Construction<sup>1)</sup>の推進により、建設現場の 生産性向上を図るため、ICT 建設機械(以下、「ICT 建 機」とする.) を用いたマシンコントロール・マシンガ イダンス(以下,「MC·MG」とする.)が普及して いる. ICT 建機は、挙動履歴・走行履歴を 3 次元座標で 記録した施工履歴データ (以下, 「ログデータ」とす る.) を収集・蓄積している。ログデータは、主に十工 において出来高を示す土量算出に用いられており 3, RTK-GNSS を用いた出来形管理にも適用されている 3. また、舗装工の生産性向上を図る目的で必要な 10 の基 準類が策定・改定されている. その中で、レーザースキ ャナを用いた出来形の面管理を導入し4,厚さの管理は 施工前後の標高の比較で算出することとしている。さら に、表層以外の中間層においてレーザスキャナ以外の機 器を活用できるようにする目的で、新設舗装においては TSを用いた厚さ管理が可能となった<sup>5</sup>.

現行の舗装工事の出来形管理では、**図-1**のように多くの舗装工事ではトータルステーションおよび地上型レーザスキャナを用いられている。現行の測量器機による計

測方法に加えて、ICT 建機のログデータから構造物の 3 次元形状を生成して活用ができると、出来形管理の計測の省力化が期待される.

既存研究 %では、図-2 のように出来形管理手法を考案し、舗装工事における転圧機械のログデータから 3 次元モデルの生成可能性を明らかにし、出来形管理への適用可能性を示唆する知見が得られた。しかし、幅員は実測値に対して±200mmの計測誤差が生じていた。この要因は、舗装端部の施工仕上がりが不明確なためである。そのため、仕上げで走行した機械端部の境目と舗装端部の境目との距離の補完に向けて、ICT 建機の諸元および施工状況の調査が必要である。また、ログデータの適用可能性把握の観点から、閾値等による異常値判定を用い

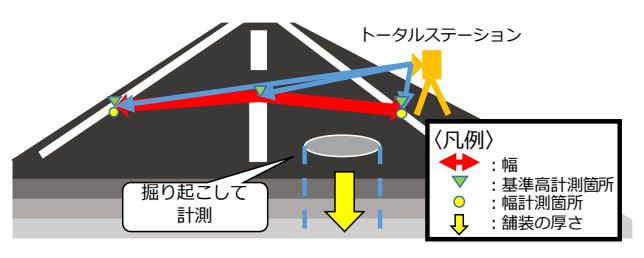


図-1 舗装工事の出来形管理のイメージ

ていなかった.したがって、転圧回数が増すごとに仕上がり面が下がっている懸念がある.さらに、GNSS 精度が良好であったとしても衛星状況に応じてわずかな誤差が生じてしまうことが考えられる.そこで、GNSS の測位誤差を考慮したログデータの補正処理手法の確立が必要であると考える.

本研究の目的は既存手法の改良とし、具体的にはログデータの補正処理手法を考案し、既存の3次元モデルの生成手法に組み込む。また、試験施工により実測値との照合検証を実施し、舗装工事の出来形管理への適用可能性を明らかにすることとした。

## 2. 補正処理手法の考案

既存研究 %では、ログデータの補正処理手法として、高さ補正および異常点の除去の2種類の手法を採用している。まず、図-3 (A) のように高さ補正としてログデータの高さから GNSS 受信機の高さを差し引くことで、ログデータの高さを地面と同じ高さに補正する。次に、座標値には、図-3 (B) のように GNSS の測位誤差を含む異常値が含まれている。そのため、GNSS の測位精度が低い座標値を異常値として除去するものとした。具体的には、「RTK の FIX 解」であることを示す表-1 のGNSS 測位状況が 5 (表-1 の GNSS 精度が 5) となっているデータのみを抽出する。

これらの手順に加え、本研究ではさらに2種類の手法 を考案し、既存手法に組み込んだ.

#### (1) 考案手法 1

転圧回数が増すごとに仕上がり面が下がっている可能性がある.この懸念を解消するために、最終走行のログデータを抽出することとした.具体的には、図-4(A)

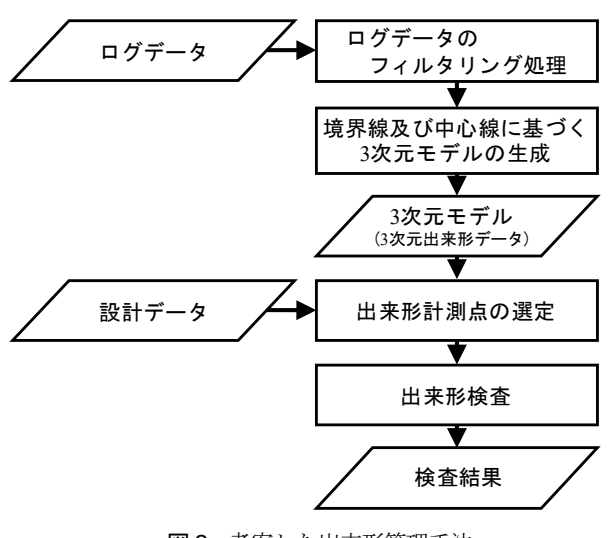


図-2 考案した出来形管理手法

のように、取得したログデータによる点群データと XY 平面上で生成したメッシュとを重畳する。メッシュサイズは、面的な出来形管理において必要最低限の基準値である点群密度(1.0 ㎡のメッシュ内に 1 点以上)<sup>8</sup>とする.最後に、転圧機械のログデータの中で、仕上げ走行箇所が完成形状を捉えることができると仮定し、メッシュ毎で最終走行時間のログデータを代表点として採用し、フィルタリング処理する(図-5 右上参照).

## (2) 考案手法 2

ログデータの高さ情報の計画勾配による影響を除去するために、図-4(B)のように、横断および縦断方向の

**表-1** ログデータの項目 (GNSS を用いた例) <sup>7)</sup>

時刻 (JST)	GNSS 精度	衛星数	HDOP	GNSS 状態	前後進 状態	X座標	Y座標	Z座標
155215	5	12	0.8	3	1	-153235.645	153235.645 83289.399	
155216	4	12	0.8	3	1	-153237.754	83290.363	395.459
155217	5	12	0.8	3	」 除:	3239.793	83291.312	395.437
155218	5	12	0.8	3	1	-153241.801	83292.132	395.430
155219	5	12	0.8	3	1	-153243.714	83292.959	395.413
155220	5	12	0.8	3	1	-153247.770	83294.647	395.290
155221	5	12	0.8	3	1	-153249.635	83295.483	395.235
155222	5	12	0.8	3	除去	-153250.810	83295.898	395.229
155223	3	12	0.8	3.	H	-153251.097	83296.023	395.228
155224	5	12	0.8	3	1	-153250.510	83295.774	395.233

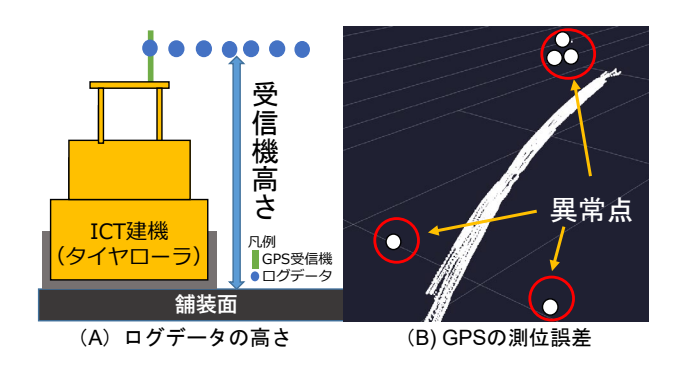


図-3 ログデータに関する課題

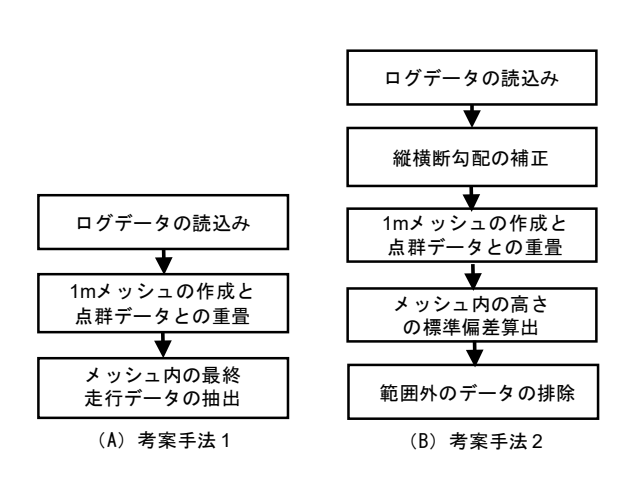


図4 考案したログデータの補正処理手法

勾配を補正する.次に、衛星状況のバラつきを解消する ために、ログデータの高さ平均および標準偏差を算出し、 データの高さ較差の範囲を算出する.それを許容範囲と してフィルタリング処理する(図-5右下参照).

## 3. 考案手法の有用性の検証

本章では、前章の考案手法により処理したログデータから生成した3次元モデルから厚さを算出する. その値が基準値%を満足しているかを検証した.

本検証は、前田道路株式会社から提供を受けた坂東舗 装工事のアスファルト舗装工の設計データおよびログデータを用いた.工事概要を次に示す.

### (工事概要)

工事名:首都圈中央連絡自動車道 坂東舗装工事工事延長:9.7km 舗装面積:140.000m<sup>2</sup>

工 期: H.27.03.06から480日間

この工事で収集されたログデータの 200m 区間を検証した.検証方法として、まず、補正処理されたログデータから3次元モデルを生成する.次に、生成した各層の3次元モデルと設計データとを重畳し、縦断方向に任意で横断面を抽出して、舗装厚を照合分析する.舗装厚の計測点は、横断方向に1.0m 毎の地点とした(図-6 参照).既存手法を用いた結果を表-2、考案手法1を用いた結果を表-3、考案手法2を用いた結果を表-4に示す.いずれの手法も表層以外の層は基準値を満足した.表層の施工には他と異なる建機を使用しており、受信機高さの設定が異なっていた可能性がある.また、標準偏差に注目した際に、若干ではあるが上層以外は既存手法に比べて数値が小さくなっている.このことから、考案手法1および考案手法2が既存手法に比べて事に対してきると考えられる.

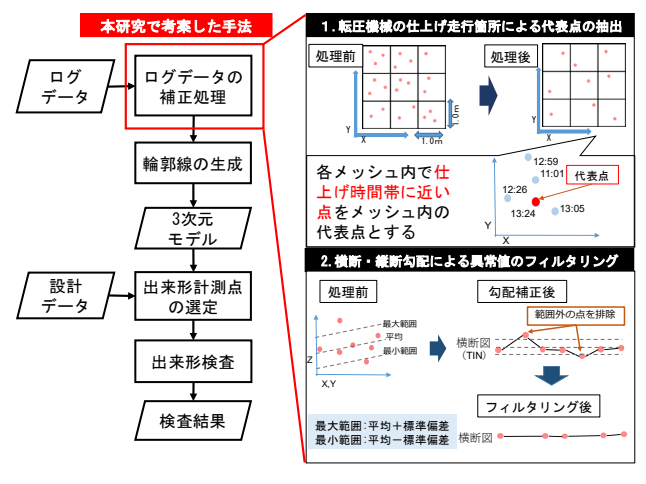


図-5 考案手法のイメージ

## 4. 試験施工による検証

既存研究で明らかになった課題の解消および考案手法の検証の目的で試験施工を実施した. 試験施工は前田道路株式会社の協力により,同社施設内の敷地を使用して実施した. 試験施工の概要を次に示す.

#### (試験施工概要)

延長:20m, 幅員:5m (図-7, 図-8参照)

使用材料: RC-40 舗装厚: 総厚 220mm

1層目(100mm), 2層目(70mm), 3層目(50mm)

使用機械:MCブルドーザ、タンデムローラー、

タイヤローラー(転圧管理システム搭載)

路床面の施工後、両端に高さ 25cm の固定式の金属製型枠を設置し、鉄ピンを打込んで固定した。その内側にMC 対応ブルドーザで砕石を敷均し、転圧管理システム(GNSS 受信機およびTS 反射鏡)を搭載したタイヤローラーで転圧して各層を仕上げた。

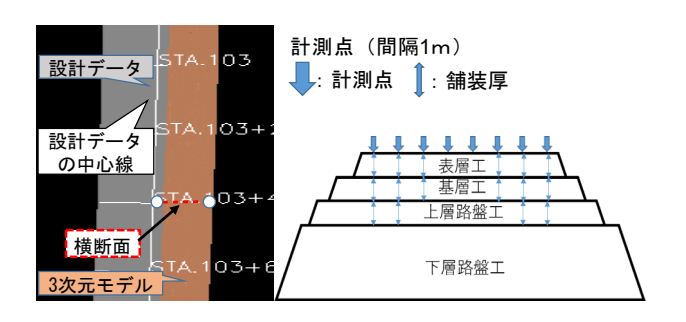


図-6 計測箇所の概要

表-2 既存手法の照合結果(単位:mm)

項目				実涯	削値				平均	標準	設計値	差	基準値		備考	
計測点	1	2	3	4	5	6	7	8	#13	偏差	数計1世	左	個々	平均	(機種)	
表層	-110	-118	-118	-107	-131	-131	-128	-128	-121	8.86	40	-161	-7	-2	TZ701改	
基層	61	58	41	40	58	60	69	85	59	13.56	60	-1	-9	-3	TS650C	
上層	120	126	133	132	134	125	115	125	126	6.31	120	6	-15	-5	TS650C	

表-3 考案手法1の照合結果(単位:mm)

項目				実涯	削値			平均	標準	設計値	差	基準	<b>準値</b>	備考		
計測点	1	2	3	4	5	6	7	8	平均	偏差	B文 AT 1世	左	個々	平均	(機種)	
表層	-107	-119	-125	-120	-124	-131	-134	-129	-124	7.91	40	-164	-7	-2	TZ701改	
基層	62	63	53	46	53	64	68	87	62	11.72	60	2	-9	-3	TS650C	
上層	120	126	127	130	135	121	120	113	124	6.54	120	4	-15	-5	TS650C	

表4 考案手法2の照合結果(単位:mm)

項目				実涯	則値			平均	標準	設計値	差	基準値		備考		
計測点	1	2	3	4	5	6	7	8	十均	偏差	1000年11日	左	個々	平均	(機種)	
表層	-111	-117	-119	-108	-130	-131	-128	-129	-122	8.64	40	-162	-7	-2	TZ701改	
基層	61	58	42	40	59	60	69	85	59	13.51	60	-1	-9	-3	TS650C	
上層	120	126	134	132	134	125	115	112	125	7.86	120	5	-15	-5	TS650C	

計測点は図-7 のように延長方向 2m 毎に設定した. 計測位置は図-8 のようにそれぞれの計測点の左端から 1m, 2.5m, 4m の位置とし、型枠の天端に水糸を張り、スケールで各仕上がり面(路床~3 層目)までの深さを測定する. その深さの差を各層の厚さの実測値(正解値)として採用した.

本手法による計測は、図-3(A)のように GNSS 受信機の左右の機械幅だけ計測不能となるため中心点(左端から 2.5mの位置)だけの計測値を採用し、実測値(正解値)と照合分析した.各断面毎に厚さを算出し、同じ断面の実測値を正解値としてそれらの差を算出する.既存手法による計測値を例として表-5に示す.今回は

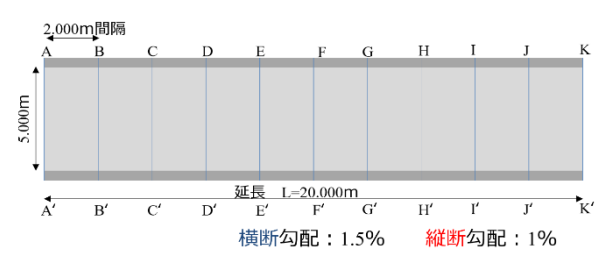


図-7 試験施工平面図

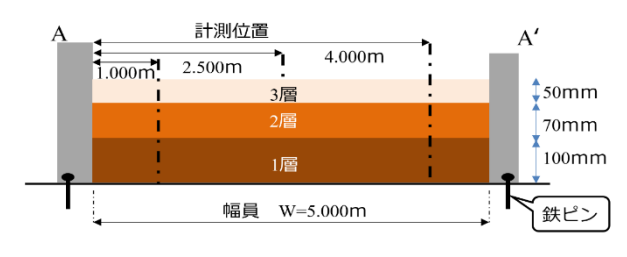


図-8 試験施工断面図

表-5 計測値と正解値との差(例) (単位:mm)

工種	計測断面 工種		В — <b>в</b>	о — ō	D   'D	ш — ш	F — Ē	თ — ō	$\mathtt{r}-\mathtt{\dot{r}}$		¬ - ¬	K   K'
1	既存手法に よる計測値	64	66	73	95	74	90	84	84	91	78	82
· 層 目	正解値(水糸に よる計測値)	80	87	87	86	84	90	85	85	85	90	85
	差	-17	-21	-15	9	-10	0	-1	-2	6	-12	-4

表-6 GNSS ログデータによる計測結果(単位:mm)

計測断面工種	A I A'	B I B'	C   C	D I D'	E E	F I F	G     G'	H    H	 	J - "	K     K'	平均値	標準偏差
1層目	-17	-21	-15	9	-10	0	-1	-2	6	-12	-4	-6	9.15
2層目	18	27	8	7	12	9	12	14	16	13	13	13	5.42
3層目	-1	5	18	8	11	-1	10	-3	19	12	1	7	7.19

表-7 TSログデータによる計測結果(単位:mm)

★ 計測断面	Α	В	С	D	E	F	G	Н	-1	J	K		
	-1	-1	-1	- 1	-1	-1	- 1	-1	-1	- 1	-1	平均值	標準偏差
工種 🔪	A'	B'	C'	D'	E'	F'	G'	H'	ľ	J'	K'		
1層目	-1	-3	-4	2	-1	-3	1	0	1	-5	-2	-1	2.26
2層目	0	4	6	3	4	2	3	3	3	3	6	3	1.60
3層目	4	1	-2	1	1	2	6	-3	4	2	-4	1	2.93

GNSS ログデータと TS ログデータを同時に取得しており、それぞれ算出した値と実測値(正解値)との差を集計し、その結果を表-6および表-7に示す.

GNSS ログデータによる結果は±20mm 程度であり、TS ログデータによる結果は±6mm 以内であった. TS ログデータからはかなり高い精度の舗装厚が算出できたといえる.

## 5. おわりに

本研究では、ログデータの補正手法を考案し、既存の 3次元モデルの生成手法を改良した。既存の舗装工事の 成果を用いたケーススタディを実施し、考案手法の有用 性を確認した。そして、試験施工を実施し、同時に取得 した GNSS ログデータおよび TS ログデータを使用して 舗装厚を算出し、高い精度の結果が得られた。

今後は、仕上げで走行した機械端部の境目と舗装端部の境目との距離の補完の実用化に向けて、ICT 建機の諸元および施工状況の確認の課題も併せて分析し、出来形管理手法の確立に向けて研究を進めていく所存である。

謝辞:本研究の遂行にあたり,前田道路株式会社の関係者には,試験施工の実施や資料の提供および貴重なご意見を賜った。ここに記して感謝の意を表する.

## 参考文献

- 1) 国土交通省: i-Construction, <a href="http://www.mlit.go.jp/common/001127188.pdf">http://www.mlit.go.jp/common/001127188.pdf</a>, (入手 2019.1.8)
- 2) 国土交通省:施工履歴データによる土工の出来高算 出要領(案), 2016.
- 3) 国土交通省: RTK-GNSS を用いた出来形管理要領 (土工編) (案), 2018.
- 4) 国土交通省:地上型レーザースキャナーを用いた出 来形管理要領(舗装工事編) (案), 2018.
- 5) 国土交通省: TS を用いた出来形管理要領 (舗装工事編), 2019.
- 6) 松浦弦三郎, 今井龍一, 谷口寿俊:舗装工事における建設機械の施工履歴の出来形管理への適用可能性の評価, 土木学会論文集 F3 (土木情報学), 土木学会, Vol.73, No.2, pp.1416-I423, 2017.
- 7) 国土交通省: TS・GNSS を用いた盛土の締固め管理 要領, 2012.
- 8) 国土交通省: レーザスキャナを用いた出来形管理要領(土工編), 2015.
- 9) 国土交通省:土木工事施工管理基準及び規格(案), 2013.